

УДК 532.546

**А.В. КОСТЕРИН, Э.В. СКВОРЦОВ, М.М. ТОРОПОВА**

**О ВОДООТДАЧЕ И ДЕФОРМАЦИЯХ  
ГЛИНИСТОГО СЛОЯ ПРИ РАБОТЕ СКВАЖИНЫ  
В ВОДОНОСНОМ ПЛАСТЕ**

Исследована осесимметричная задача о фильтрации к скважине и деформациях в системе горные породы – насыщенный глинистый слой – водоносный пласт. Получено интегро-дифференциальное уравнение, описывающее эволюцию поля давления в пласте с учетом перетока жидкости из слоя в пласт. Найдены распределения перетоков и усадка земной поверхности в различные моменты времени. Величина предельной усадки выражена в замкнутом виде. Показано, что дебит скважины достаточно долго практически полностью обеспечивается водоотдачей глин.

Интерес к задачам фильтрации с учетом деформаций пластов и окружающих их горных пород связан с потребностью объяснения некоторых явлений и эффектов, известных в нефтедобыче и гидрогеологии. Так, натурные эксперименты [1–3] показывают, что в ряде случаев дебит скважины при вариации депрессии ведет себя нелинейно, что можно связать с изменением проницаемости пласта вследствие его деформаций.

Длительная эксплуатация нефтяных месторождений нередко приводит к значительному оседанию поверхности земли. Характерный пример подобного рода – усадка земли в г. Лос-Анджелес на месторождении Уилмингтон, достигшая 9 м и заметная на площади 50 км<sup>2</sup>. Как по этому поводу замечает В.Н. Щелкачев [4], из пласта отбиралось большое количество не только нефти, но и воды. Напоминая о суждениях О. Мейнцера и С. Толмэна, высказанных ими более 60 лет тому назад, он объясняет такое оседание сжатием глинистых кровли и подошвы пласта при их дегидратации под воздействием снижения пластового давления.

В [5] описано оседание более чем на 4 м буровых платформ на нефтяных про- мыслах Экофиск в Северном море и предложено аналогичное объяснение подобных явлений. Отмечено, что если в жесткой породе, вмещающей залежь, деформации не- существенны, но в недоуплотненных глинистых слоях, контактирующих с основным пластом, давление флюидов может оказаться аномально высоким, и при вскрытии и эксплуатации пласта вода из этих слоев начнет перетекать в пласт. Сжатие слоев может привести к значительным усадкам земной поверхности – до 9 м, как это произошло в г. Мехико при добыче подземных вод с небольших глубин.

С позиций гидрогеологии, при отборе подземных вод наряду с усадкой земли не менее существенным фактором является количество воды, поступающее в водоносный пласт из соседних глинизованных слоев. Например, балансовые расчеты, проведенные для Белозерского водоносного комплекса [6], показали, что вода, поступающая в водоносный горизонт при сжатии смежных слабопроницаемых пород, обеспечила поступление более двух третей жидкости от общего расхода водозаборного сооружения.

Теоретическое описание указанных явлений требует постановки и решения взаимо- связанных задач геомеханики горных пород и фильтрации в деформируемых пластах.

Исследований в этом направлении сравнительно немного. Так, в работах [7–9] покрывающие пласт породы моделировались упругой плитой, что физически оправданно, когда мощность этих пород мала по сравнению с размерами зоны изменения давления в пласте. Среди более поздних публикаций следует выделить две. В [10] предложена асимптотическая постановка задачи, когда пласт в толще упругих горных пород заменяется разрезом, а условия сопряжения на нем включают в себя реологическое уравнение одномерной (поперечной) консолидации насыщенного пласта. В [11] получено соответствующее схеме [10] нелокально-релаксационное уравнение для давления жидкости в пласте (обобщенное уравнение пьезопроводности).

Развитию упомянутого асимптотического подхода посвящены работы [12–16]. В частности, дано объяснение нелинейной зависимости дебита скважины от депрессии в пласте за счет деформаций [12]; предложено обобщение асимптотической схемы на случай многослойного пласта [14] и неосесимметричного распределения давления в нем [15, 16].

В упомянутых теоретических работах механическое поведение горных пород и матрицы пласта описывалось линейными уравнениями теории упругости, когда деформации малы. Вследствие этого соответствующие модели непосредственно непригодны для объяснения больших усадок земной поверхности и перетоков в пласт.

В данной работе предлагается расширение модели слоистой системы [12, 14]. Предполагается, что она состоит из упругого водоносного пласта, вскрытого скважиной, и примыкающего к нему недоуплотненного глинистого слоя. Модули упругости горных пород и пласта для простоты считаются одинаковыми. Вязкоупругое поведение пористой матрицы глинистого слоя описывается реологической моделью Кельвина – Фойгта. Так как мощность этого слоя мала по сравнению с его горизонтальными размерами, деформации слоя принимаются чисто поперечными.

**1. Постановка задачи.** Рассмотрим горизонтальный глинизованный слой мощностью  $h$ , расположенный на глубине  $H$  и контактирующий с нижележащим водоносным пластом мощностью  $h_0$ . При эксплуатации пласта через скважину осуществляется переток воды из слоя в пласт.

Введем цилиндрическую систему координат  $(r, z, \phi)$ . Ось  $z$  совместим с осью скважины. Плоскость  $z = H$  перпендикулярна направлению силы тяжести и совпадает со свободной поверхностью земли. Плоскость  $z = 0$  совместим со срединной поверхностью слоя. Распределение давления в пласте будем считать осесимметричным.

Породам соответствует однородное упругое полупространство, характеризуемое коэффициентом Пуассона  $\nu$  и модулем Юнга  $E$  и ограниченное плоскостью  $z = H$ , а слой, в соответствии с [10], заменяется разрезом, верхняя и нижняя границы которого являются плоскостями  $z \rightarrow +0$  и  $z \rightarrow -0$ .

Далее интерес представляет нахождение лишь отклонений искомых величин давлений, перемещений и т.д. от значений, соответствующих состоянию пласта с начальным постоянным давлением в нем. Ниже при использовании обозначений подразумеваются указанные отклонения.

В породах вектор перемещений и удовлетворяет квазистационарному уравнению линейной теории упругости со следующими граничными условиями:

$$\text{grad div } \mathbf{u} - \frac{1-2\nu}{2(1-\nu)} \text{rot rot } \mathbf{u} = 0 \quad (1.1)$$

$$\sigma_z = \tau_{rz} = 0 \quad (z = H) \quad (1.2)$$

$$[\sigma_z] = [\tau_{rz}] = 0, \quad [u_r] = 0 \quad (z = 0) \quad (1.3)$$

$$\left( E_1 + \mu_1 \frac{\partial}{\partial t} \right) [u_z] = (\sigma_z + p) h \quad (z = 0) \quad (1.4)$$

Здесь квадратные скобки означают скачок соответствующих величин на границах слоя (разреза),  $\sigma_z$  и  $\tau_{rz}$  – компоненты тензора напряжений,  $u_z$  и  $u_r$  – компоненты вектора перемещений  $\mathbf{u}$ ,  $t$  – время,  $p$  – давление жидкости в пласте. Условие (1.4) дает связь скачка перемещений с нормальными напряжениями на границе слоя – разреза, отвечающую реологическому поведению матрицы глинистого слоя по модели Кельвина – Фойгта с параметрами  $E_1$ ,  $\mu_1$ .

По отношению к описанию течения в водоносном пласте задача (1.1) – (1.4) является "внешней". Она неявно задает операторную связь поперечных деформаций глинистого слоя с изменением давления жидкости в нем. Методами теории упругости этот оператор может быть найден в явном виде, что позволяет непосредственно связать распределение перетоков с полем давления. Таким образом, решение исходной задачи может быть сведено к решению задачи Коши для обобщенного интегро-дифференциального уравнения пьезопроводности для давления жидкости в пласте.

**2. Решение "внешней" задачи.** Используем представления Папковича – Нейбера компонент тензора напряжений и вектора перемещений через две гармонические функции  $\Phi$  и  $\varphi$  [17]:

$$\begin{aligned}\sigma_z &= 2(1-\nu) \frac{\partial \Phi}{\partial z} - \frac{\partial^2 \varphi}{\partial z^2} - z \frac{\partial^2 \Phi}{\partial z^2} \\ \tau_{rz} &= \frac{\partial}{\partial r} \left[ (1-2\nu)\Phi - \frac{\partial \varphi}{\partial z} - z \frac{\partial \Phi}{\partial z} \right] \\ u_z &= \frac{1+\nu}{E} \left[ (3-4\nu)\Phi - \frac{\partial \varphi}{\partial z} - z \frac{\partial \Phi}{\partial z} \right] \\ u_r &= -\frac{1+\nu}{E} \left( \frac{\partial \varphi}{\partial r} + z \frac{\partial \Phi}{\partial r} \right)\end{aligned}\quad (2.1)$$

Пусть слой  $0 < z < H$  и полупространство горных пород  $z < 0$  есть соответственно подобласти 1 и 2. Отыскивая в них функции  $\Phi_j$ ,  $\varphi_j$  и  $p$  (здесь и далее  $j = 1, 2$ ) в виде интегралов Ханкеля

$$\begin{aligned}\Phi_1(r, z) &= \int_0^\infty [a_1(\xi)e^{\xi z} + b_1(\xi)e^{-\xi z}] J_0(\xi r) \xi d\xi, \quad 0 < z < h \\ \varphi_1(r, z) &= \int_0^\infty [c_1(\xi)e^{\xi z} + d_1(\xi)e^{-\xi z}] J_0(\xi r) \xi d\xi, \quad 0 < z < h \\ \Phi_2(r, z) &= \int_0^\infty a_2(\xi)e^{\xi z} J_0(\xi r) \xi d\xi, \quad z < 0 \\ \varphi_2(r, z) &= \int_0^\infty c_2(\xi)e^{\xi z} J_0(\xi r) \xi d\xi, \quad z < 0 \\ p(r) &= \int_0^\infty p_*(\xi) J_0(\xi r) \xi d\xi\end{aligned}\quad (2.2)$$

и удовлетворяя граничным условиям (1.2), (1.3), с учетом зависимостей (2.1) будем иметь

$$\begin{aligned}a_1 &= b_1 e^{-2y} (1+2y), \quad c_1 = \frac{b_1 H}{y} e^{-2y} (1-2y) \left( 1+2y - \frac{2y^2}{1-2\nu} \right) \\ d &= -\frac{b_1 H}{y} (1-2\nu), \quad c_2 = \frac{b_1 H}{y} (1-2\nu) \left[ e^{-2y} \left( 1+2y - \frac{2y^2}{1-2\nu} \right) - 1 \right] \\ a_2 &= b_1 [(1+2y)e^{-2y} - 1]\end{aligned}\quad (2.3)$$

Здесь  $y = \xi H$ , а коэффициент  $b_1$  параметрически зависит от времени  $t$ . Введем безразмерные величины

$$a = \frac{4HE_1(1-\nu^2)}{hE}, \quad B = \frac{ab_1}{H^3\rho_0}, \quad \tau = \frac{E_1 t}{\mu_1}, \quad P = \frac{p_*}{H^2 p_0}, \quad \rho = \frac{r}{H}, \quad b = \frac{k h_0 \mu_1}{H^2 h \mu}$$

Давление нормируется на величину  $p_0$  с сохранением за ним прежнего обозначения.

Из условия (1.4) вытекает дифференциальное уравнение для определения величины  $B = B(y, \tau)$  со следующим начальным условием:

$$\frac{dB}{d\tau} + \alpha(y)B = P(y, \tau), \quad B(y, 0) = 0 \quad (2.4)$$

$$\alpha(y) = 1 + \frac{y}{a}[1 - e^{-2y}(1 + 2y + 2y^2)] \quad (2.5)$$

Изображение давления по Ханкелю определяется формулой

$$P(y, \tau) = \int_0^\infty p(\rho, \tau) J_0(yp) \rho d\rho \quad (2.6)$$

Согласно соотношениям (2.4) – (2.5)

$$B(y, \tau) = \int_0^\tau P(y, t) e^{-(\tau-t)\alpha(y)} dt \quad (2.7)$$

Зависимости (2.1) – (2.3), (2.5) – (2.7) позволяют найти основные характеристики напряженно-деформированного состояния горных пород. В частности, скачок вертикального перемещения на границе разреза и смещение свободной поверхности даются формулами

$$[u_z]_{z=0} = \frac{hp_0}{E_1} \int_0^\infty B(y, \tau) y J_0(\rho y) dy \quad (2.8)$$

$$u_z(\rho, \tau) |_{z=H} = \frac{hp_0}{E_1} \int_0^\infty B(y, \tau) e^{-y}(1+y) y J_0(\rho y) dy \quad (2.9)$$

**3. Решение задачи о фильтрации в пласте.** Давление жидкости в водоносном пласте в размерных переменных удовлетворяет уравнению

$$\operatorname{div}\left(\frac{k h_0}{\mu} \operatorname{grad} p\right) + q = \beta h_0 \frac{\partial p}{\partial t} \quad (3.1)$$

где  $k$ ,  $h_0$ ,  $\beta$  – проницаемость, мощность и упругоемкость пласта соответственно,  $\mu$  – вязкость жидкости,  $q = q(p, t)$  – величина перетока жидкости из слоя в пласт, которая связана со скачком  $u_z$  на разрезе:

$$q = -\frac{\partial}{\partial t} [u_z]_{z=0} \quad (3.2)$$

Для достаточно медленных процессов правой частью уравнения (3.1) можно пренебречь, поскольку основной вклад в изменение давления будет определяться перетоком  $q(t)$ .

В начальный момент времени деформации и напряжения в системе равны нулю. Отсюда из условия (1.4) при  $t = 0$  следует

$$\mu_1 \frac{\partial}{\partial t} [u_z] = hp \quad (3.3)$$

Согласно соотношениям (2.8), (3.1), (3.3), распределение безразмерного давления в пласте описывается уравнением с начальным условием

$$\frac{b}{\rho} \frac{\partial}{\partial \rho} \left( \rho \frac{\partial p}{\partial \rho} \right) = \int_0^{\infty} \frac{\partial B(y, \tau)}{\partial \tau} y J_0(\rho y) dy \quad (3.4)$$

$$\frac{b}{\rho} \frac{\partial}{\partial \rho} \left( \rho \frac{\partial p}{\partial \rho} \right) = p \quad (3.5)$$

Для завершения постановки задачи следует указать граничные условия. Пусть, например, на контуре скважины ( $\rho = \rho_0$ ) и на контуре питания пласта ( $\rho = R/H$ ) заданы постоянные давления

$$p(\rho_0, \tau) = -1, \quad p(R/H, \tau) = 0 \quad (3.6)$$

Итак, для того чтобы найти давление в пласте, требуется решить задачу (3.4) – (3.6), (2.6), (2.7). При известном распределении давления  $p = p(\rho, \tau)$  по формулам (3.2) и (2.9) определяются переток и смещение свободной поверхности.

Величину суммарного перетока жидкости из слоя в пласт можно найти, интегрируя левую часть уравнения (3.4) в пределах от  $\rho = \rho_0$  до  $\rho = R/H$ . Отношение  $\eta(\tau)$  суммарного перетока из слоя в пласт к расходу скважины представляется формулой

$$\eta(\tau) = 1 - \frac{R}{H} \left( \frac{\partial p}{\partial \rho} \right)_{\rho=R/H} \left[ \rho_0 \frac{\partial p}{\partial \rho} \right]^{-1}_{\rho=\rho_0} \quad (3.7)$$

При  $\tau \rightarrow \infty$ , очевидно, величина  $\eta(\tau)$  стремится к нулю, а распределение давления в пласте – к логарифмическому

$$p(\rho, \infty) = -\frac{\ln(\rho H / R)}{\ln(\rho_0 H / R)}, \quad \rho_0 \leq \rho \leq \frac{R}{H}$$

Предельная усадка ( $t \rightarrow \infty$ ) земной поверхности может быть выражена через однократный интеграл. Из формулы (2.7) следует, что

$$B(y, \infty) = P(y, \infty) / \alpha(y) \quad (3.8)$$

Если теперь доопределить давление за пределами интервала  $(\rho_0, R/H)$  следующим образом:

$$p(\rho, \tau) = -1, \quad 0 \leq \rho < \rho_0$$

$$p(\rho, \tau) = 0, \quad \rho > R/H$$

то изображение давления можно привести к виду

$$P(y, \infty) = - \left[ \int_0^{\rho_0} J_0(y\rho) \rho d\rho + \int_{\rho_0}^{R/H} \frac{\ln(\rho H / R)}{\ln(\rho_0 H / R)} J_0(y\rho) \rho d\rho \right] \quad (3.9)$$

Соотношения (2.9), (3.8), (3.9) и формула [18]

$$\int_0^1 \ln x J_0(cx) dx = \frac{J_0(cx) - 1}{c^2}$$

позволяют выразить результат в виде

$$u_z(\rho, \infty) |_{z=H} = - \frac{h p_0}{E_1 \ln \frac{R}{r_0}} \int_0^{\infty} \frac{e^{-y}(1+y)}{y \alpha(y)} [J_0(y\rho_0) - J_0(yR/H)] J_0(\rho y) dy \quad (3.10)$$

Расчет поля давления  $p(\rho, \tau)$  проводился следующим образом. Уравнение (3.4) преобразовывалось к виду

$$\frac{b}{\rho} \frac{\partial}{\partial \rho} \left( \rho \frac{\partial p}{\partial \rho} \right) - p(\rho, \tau) = -J \quad (3.11)$$

$$J = \int_0^{\infty} \alpha(y) B(y, \tau) y J_0(y\rho) dy$$

Отрезок времени наблюдения  $[0, \tau]$  разбивался на равные части точками  $\tau_0 = 0, \tau_1, \tau_2, \dots, \tau_n = \tau$ , и далее полагалось, что  $P(y, \tau) = P(y, \tau_i), \tau \in [\tau_i, \tau_{i+1}]$ . При этом интеграл в формуле (3.11) приобретает вид суммы

$$J = \sum_{i=0}^{n-1} \int_0^{\infty} [e^{(\tau_{i+1} - \tau_i)\alpha(y)} - e^{(\tau_i - \tau_{i-1})\alpha(y)}] \int_0^{R/H} p(\xi, \tau_i) J_0(y\xi) \xi d\xi y J_0(y\rho) dy$$

Когда величина  $h/H$  достаточно мала, а величина  $a$  достаточно велика, можно принять [10], что  $\alpha(y) \approx 1 + y/a$ , и преобразовать эту сумму следующим образом:

$$\begin{aligned} J &= \sum_{i=0}^{n-1} \int_0^{R/H} \xi p(\xi, \tau_i) \left[ e^{(\tau_{i+1} - \tau_i)\xi} \int_0^{\infty} e^{(\tau_{i+1} - \tau_i)y/a} y J_0(y\xi) J_0(y\rho) dy - \right. \\ &\quad \left. - e^{(\tau_i - \tau_{i-1})\xi} \int_0^{\infty} e^{(\tau_i - \tau_{i-1})y/a} y J_0(y\xi) J_0(y\rho) dy \right] d\xi \end{aligned} \quad (3.12)$$

Внутренний интеграл в последнем выражении известен [18]:

$$\begin{aligned} \int_0^{\infty} xe^{-px} J_0(bx) J_0(cx) dx &= \frac{pk^3}{4\pi(1-k^2)(bc)^{3/2}} E(k) \\ k &= \frac{2\sqrt{bc}}{\sqrt{p^2 + (b+c)^2}} \end{aligned} \quad (3.13)$$

где  $E(k)$  – полный эллиптический интеграл второго рода.

Использование описанных процедур позволило эффективно вычислять правую часть уравнения (3.11).

Уравнение (3.11) решалось методом прогонки. Область  $[\rho_0, R/H]$  покрывалась неравномерной сеткой, сгущенной к скважине. В качестве теста использовалось аналитическое решение задачи (3.5), (3.6) [19]

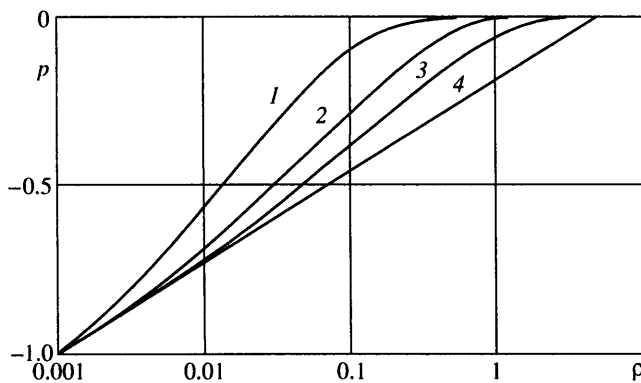
$$p(\rho, 0) = \frac{K_0(R/H\sqrt{b}) I_0(\rho/\sqrt{b}) - I_0(R/H\sqrt{b}) K_0(\rho/\sqrt{b})}{I_0(R/H\sqrt{b}) K_0(\rho_0/\sqrt{b}) - I_0(\rho_0/\sqrt{b}) K_0(R/H\sqrt{b})}$$

Здесь  $I_0(x), K_0(x)$  – модифицированные функции Бесселя.

**4. Обсуждение результатов.** С целью выявления в задаче основных пространственных и временных масштабов проведены расчеты поля давления, перетоков и усадки земной поверхности. Исходные данные, по возможности, согласовывались с реальными условиями. Труднее всего поддаются оценке реологические параметры  $E_1$  и  $\mu_1$  глинистого слоя. Согласно [20], вязкость илита составляет примерно  $10^{11}$  Па · с, а прочность глинистых грунтов на сжатие  $\sim (0.1 + 1)$  МПа, поэтому можно принять  $(\mu_1/\mu) \sim 10^{14}, E_1 \sim 1$  МПа. Значения остальных параметров задавались следующими:

$E = (10^9 + 10^{10})$  Па;  $v = 0.2$ ;  $k = 10^{-13}$  м<sup>2</sup> (0.1 дарси);  $\mu = 10^{-3}$  Па · с;  $h_0 = 10$  м;  $h \sim (1 + 10)$  м;  $H \sim (3 \cdot 10^2 + 10^3)$  м;  $p_0/E_1 = 1$ ;  $b \sim 10^{-2}$ ;  $a \sim (0.1 + 3.5)$ .

В этих условиях отношение характерных значений  $\beta h_0(\partial p/\partial t)$  и  $q$  в (3.1) равно  $\beta p_0 h_0/h \sim (10^{-4} + 10^{-3})$ . Это означает, что развитие воронки депрессии  $p(\rho, t)$  у скважины лимитируется перетоком  $q$  и происходит в  $10^3 + 10^4$  раз медленнее, чем только



Фиг. 1. Распределение давления в пласте в моменты времени  $\tau = 0, 200, 1200, \infty$  (кривые 1–4)

за счет упругоемкости  $\beta$ . На малых временах форма воронки определяется решением задачи (3.5), (3.6). Распределение давления для разных моментов времени представлено на фиг. 1.

Подсчитывалось также отношение  $\eta(\tau)$  интегрального водопритока из глинистого слоя к дебиту скважины (3.7). Установлено, что вплоть до  $\tau = 1200$  ( $t \sim 4$  года) оно практически равно единице, т.е. скважина питается фактически за счет водоотдачи глин.

Стационарный предел усадки земной поверхности  $\bar{u}_z(\rho, \infty) = E_l u_z / (hp_0)$  показан на фиг. 2. Развитие максимальной усадки  $\bar{u}_z(0, \tau)$  представлено на фиг. 3. Из этих данных видно, что в отличие от воронки давления, локализованной вблизи скважины, "воронка усадки" весьма пологая и простирается даже за пределы контура питания. Такое поведение обусловлено изгибной жесткостью плиты горных пород. Величина усадки за несколько лет ( $\tau \sim 1200$ ) достигает примерно 10% мощности глинистого слоя.

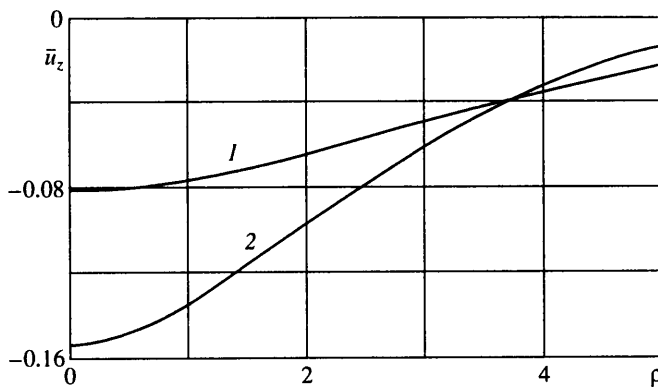
При расчете давления правая часть уравнения (3.11) вычислялась приближенно по формулам (3.12), (3.13). Такой прием резко сокращает объем вычислений. Выигрыш достигается, по сути, благодаря замене функции  $\alpha(y)$  на  $1 + (y/a)$ . Погрешность такой замены быстро убывает с ростом  $a$ . Так, уже при  $a = 0.12$  ( $H/h = 30$ ) имеем  $0.8 \leq \alpha(y)/(1 + y(a)) \leq 1$  в интервале  $y \in (2, \infty)$ . При  $a = 3(H/h = 750)$  эта оценка выполняется уже всюду ( $0 < y < \infty$ ). Таким образом, можно ожидать, что выполненные расчеты не слишком заметно искажают решение.

Ключевой элемент в структуре задачи – глинистый слой. Он не только обеспечивает возможность значительной усадки земной поверхности, но и длительное время питает жидкостью водоносный пласт. Величина усадки лимитируется изгибом плиты вышележащих горных пород, а скорость ее изменения – отжимом воды из глин по механизму фильтрационной консолидации. При этом малые деформации водоносного пласта и нижележащих горных пород не играют существенной роли. Именно поэтому их реологические характеристики можно считать одинаковыми.

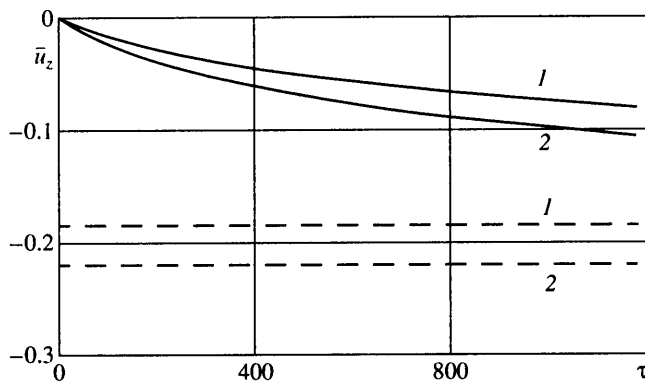
Процесс поперечной консолидации глин моделируется в задаче важным соотношением (1.4). Оно следующим образом соотносится с уравнением квазиравновесия слоя как насыщенной пористой среды [11] и реологическим соотношением для глинистой пористой матрицы

$$\frac{\partial \sigma^f}{\partial z} - \frac{\partial p}{\partial z} = 0 \quad (4.1)$$

$$\sigma^f = \left( E_l + \mu_l \frac{\partial}{\partial t} \right) \frac{\partial u_z}{\partial z} \quad (4.2)$$



Фиг. 2. Характерное распределение усадки земной поверхности при  $R/H = 5$ :  $E_1/E = 0.001; 0.01$  (кривые 1, 2)



Фиг. 3. Максимальная усадка ( $\rho = 0$ ):  $E_1/E = 0.01; 0.001$  (1, 2). Штриховые линии – соответствующие асимптоты при  $\tau \rightarrow \infty$

Если из первого интеграла (4.1):  $\sigma_z^f - p = \sigma_z$  найти величину  $\sigma_z^f$ , подставить ее в (4.2) и проинтегрировать результат поперек слоя, то получится почти полная копия условия (1.4) с той лишь разницей, что вместо  $p$  (отклонение давления жидкости на кровле пласта от исходного) в ней будет стоять среднее по слою  $h$  значение вариации давления  $\langle p \rangle$ . Фактическое отождествление  $p$  и  $\langle p \rangle$  в постановке задачи – неявное приближенное допущение модели. (Без упоминания оно содержится и в [10].)

В связи с (1.4) необходимо отметить еще одно, более существенное обстоятельство. Условие (1.4) должно учитывать, что скорость консолидации (и водоотдачи) слоя определяется, в первую очередь, фильтрационным сопротивлением, а не реологией глинистой матрицы. Для этого значение параметра  $\mu_1$  должно быть согласовано с данными компрессионных опытов с глинами. Тогда (1.4) хотя бы косвенно будет отражать влияние проницаемости среды на скорость уплотнения слоя. При выборе величины  $\mu_1$  это учитывалось.

Техника решения "внешней задачи" (1.1) – (1.4) (представления (2.1), (2.2)) достаточно стандартна. Специфика задачи проявляется в соотношении (2.4), определяющем зависимость коэффициентов представления (2.2) от времени. Вследствие этого

оператор  $[u_z] = L(p)$  становится интегральным не только по  $r$ , но и по  $t$ , что существенно осложняет построение решения уравнения (3.11). Именно поэтому для упрощения расчетов были построены соотношения (3.12), (3.13).

Анализ задачи показывает, что в изученном процессе можно выделить три характерные стадии. Первая включает в себя образование начальной воронки депрессии за счет упругомкости (пьезопроводности) пласта, вторая – развитие и стабилизацию деформации глинистого слоя в окрестности скважины, третья – стабилизацию воронки оседания земной поверхности. Основное внимание в работе уделено второй стадии. Первая (быстрая) вообще не рассматривается. К третьей можно отнести лишь формулу (3.10) и фиг. 2.

**Заключение.** В работе даны постановка и численно-аналитическое решение задачи об уплотнении и водоотдаче глинистого слоя, примыкающего к водоносному пласту, при отборе жидкости через одиночную скважину. Показано, что в реальных условиях водоотдача глин в течение многих лет может вносить определяющий вклад в дебит скважины, а предельная усадка земной поверхности может достигать нескольких метров.

Работа выполнена при поддержке Российского фонда фундаментальных исследований (№ 99-01-00466).

## СПИСОК ЛИТЕРАТУРЫ

1. Губанов Б.Ф., Желтов Ю.П. Регулирование процесса разработки с применением повышенных давлений нагнетания // Тр. Всесоюз. нефтегаз. НИИ, 1968. Вып. 54. С. 165–179.
2. Непримеров Н.Н. Трехмерный анализ нефтеотдачи охлажденных пластов. Казань: Изд-во Казан. ун-та, 1978. 216 с.
3. Дияшев Р.Н. Совместная разработка нефтяных пластов. М.: Недра, 1984. 208 с.
4. Щелкачев В.Н. Основы и приложения теории неуставновившейся фильтрации. Ч. 2. М.: Нефть и газ, 1995. 492 с.
5. Мори В. Оседание буровых платформ на нефтяных промыслах Экофикс: проблема механики горных пород (причины и следствия оседаний, связанных с разработкой нефтяных залежей в Северном море) // Механика горных пород применительно к проблемам разведки и добычи нефти. М.: Мир, 1994. С. 257–264.
6. Мироненко В.А. Изменение физико-механических свойств и деформации глинистых пород в результате глубокого водопонижения // Инженерно-геологические свойства глинистых пород и процессы в них: Тр. Междунар. симп. 1971. М.: Изд-во МГУ, 1972. Вып. 2. С. 97–104.
7. Афанасьев Е.Ф., Николаевский В.Н. Нелокально-упругий режим фильтрации и восстановление давления в глубинных пластах // ПМТФ. 1969. № 5. С. 113–116.
8. Николаевский В.Н. К изучению нелокальных эффектов при упругом режиме фильтрации в глубинных пластах // ПМТФ. 1968. № 4. С. 35–38.
9. Афанасьев Е.Ф. К обоснованию теории нелокально-упругого режима фильтрации при помощи уравнений теории упругости // ПМТФ. 1971. № 4. С. 82–86.
10. Ентов В.М., Малахова Т.А. Об изменении напряженно-деформированного состояния горных пород при изменении давления в насыщенном жидкостью пласте // Изв. АН СССР. МТТ. 1974. № 6. С. 53–65.
11. Николаевский В.Н. Механика пористых и трещиноватых сред. М.: Недра, 1984. 232 с.
12. Дияшев И.Р., Конюхов В.М., Костерин А.В., Скворцов Э.В. О продуктивных характеристиках скважины в деформируемом пласте, взаимодействующем с горными породами // Изв. РАН. МЖГ. 1995. № 1. С. 86–93.
13. Дияшев И.Р., Конюхов В.М., Скворцов Э.В. Нестационарная фильтрация под действием скважины в деформируемом пласте, взаимодействующем с горными породами // Изв. РАН. МЖГ. 1996. № 1. С. 85–90.
14. Костерин А.В., Скворцов Э.В. Продуктивные характеристики скважины в системе пласт – горные породы // Изв. РАН. Сер. Математика, математическое моделирование, информатика и управление. 1998. Т. 2. № 1. С. 80–106.

15. Костерин А.В., Скворцов Э.В., Торопова М.М. Напряженно-деформированное состояние горных пород и фильтрация в неоднородных пластах // Вычислительные технологии. 1999. Т. 4. № 2. С. 42–50.
16. Дияшев Р.Н., Костерин А.В., Скворцов Э.В. Фильтрация жидкости в деформируемых нефтяных пластах. Казань. Изд-во Казан. ун-та, 1999. 237 с.
17. Уфлянд Я.С. Интегральные преобразования в задачах теории упругости. Л.: Наука, 1967. 402 с.
18. Прудников А.П., Брычков Ю.А., Маричев О.И. Интегралы и ряды. Специальные функции. М.: Наука, 1983. 750 с.
19. Камке Э. Справочник по обыкновенным дифференциальным уравнениям. М.: Наука, 1971. 576 с.
20. Грунтоведение / Под ред. Е.М. Сергеева. М.: Изд-во МГУ, 1983. 389 с.

Казань

Поступила в редакцию  
26.VI.2001